

# Modelowanie trajektorii cząstek naładowanych w polu magnetycznym.

Paweł Rzońca

22 grudnia 2015

## Wstęp

Rozważmy ruch elektronu w obecności pola magnetycznego. Funkcja Lagrange'a ma w tym przypadku postać

$$\mathcal{L} = \frac{m}{2} \dot{\vec{r}}^2 + \frac{e}{2} \vec{r} \cdot (\dot{\vec{r}} \times \vec{B}). \quad (1)$$

W cylindrycznym układzie współrzędnych z osią  $z$  skierowaną równoległe do pola uzyskujemy następującą funkcję Hamiltona

$$\mathcal{H} = \frac{1}{2m} \left( p_z^2 + p_r^2 + \frac{1}{r^2} p_\varphi^2 \right) - \frac{eB}{2m} p_\varphi + \frac{e^2 B^2}{8m} r^2. \quad (2)$$

Z równań Hamiltona otrzymujemy następujące równania opisujące ruch elektronu:

$$\begin{aligned} \dot{z} &= \frac{p_z}{m}, & \dot{p}_z &= 0, \\ \dot{\varphi} &= \frac{p_\varphi}{mr^2} - \frac{eB}{2m}, & \dot{p}_\varphi &= 0, \\ \dot{r} &= \frac{p_r}{m}, & \dot{p}_r &= \frac{p_\varphi^2}{mr^3} - \frac{e^2 B^2 r}{4m}. \end{aligned}$$

Energia całkowita układu jest równa funkcji Hamiltona

$$E = \mathcal{H}. \quad (3)$$

## Metodyka

Ruch w kierunku równoległym do pola ( $z$ ) separuje się od ruchu w kierunku prostopadłym do pola i jest ruchem jednostajnym. Rozwiązania numeryczne znajdziemy dla ruchu poprzecznego. Równania rozwiązujemy iteracyjnie:

$$\begin{aligned} \varphi_{i+1} &= \varphi_i + \left( \frac{p_{\varphi,i}}{mr_i^2} - \frac{eB}{2m} \right) \Delta t, \\ r_{i+1} &= r_i + \frac{p_{r,i}}{m} \Delta t, \\ p_{\varphi,i+1} &= \text{const}, \\ p_{r,i+1} &= p_{r,i} + \left( \frac{p_{\varphi,i}^2}{mr_i^3} - \frac{e^2 r_i B^2}{4m} \right) \Delta t. \end{aligned}$$

Dla uproszczenia rachunków numerycznych wszystkie parametry układu, tj  $m$ ,  $e$  i  $B$  kładziemy równe jeden. Pęd sprzężony ze współrzędną  $\varphi$  jest stały i jego również kładziemy równy jeden.

## Wyniki

W ćwiczeniu przyjęto następujące dane wejściowe:

$$m = 1 \text{ kg},$$

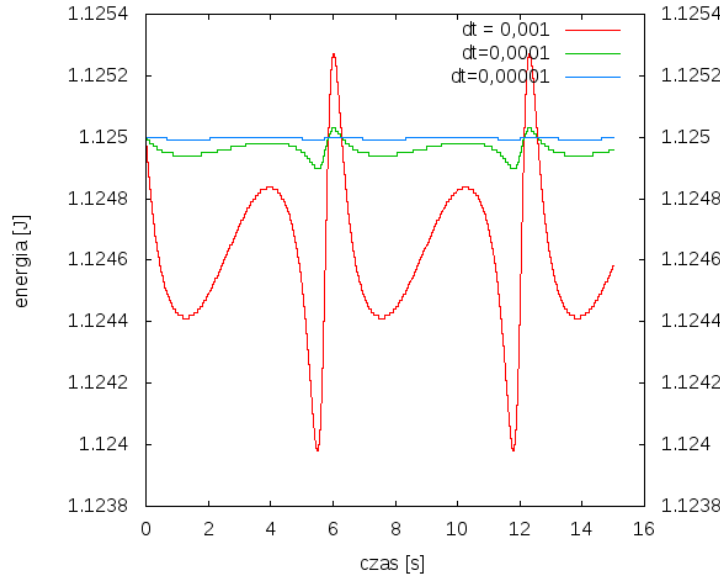
$$B = 1 \text{ T},$$

$$e = 1 \text{ C},$$

$$p_{\varphi,0} = 1 \text{ kg}\cdot\text{m}^2/\text{s},$$

$$p_{z,0} = 1 \text{ kg}\cdot\text{m}/\text{s}.$$

Rozpoczęto od wyboru kroku czasowego  $\Delta t$ . W tym celu zbadano wahania energii w czasie. Porównanie dla kilku wartości kroku czasowego przedstawiono na wykresie 1. Do dalszej analizy wybrano krok  $\Delta t = 0,0001 \text{ s}$ , gdyż dla takiego kroku energia była w dobrym przybliżeniu stałą.

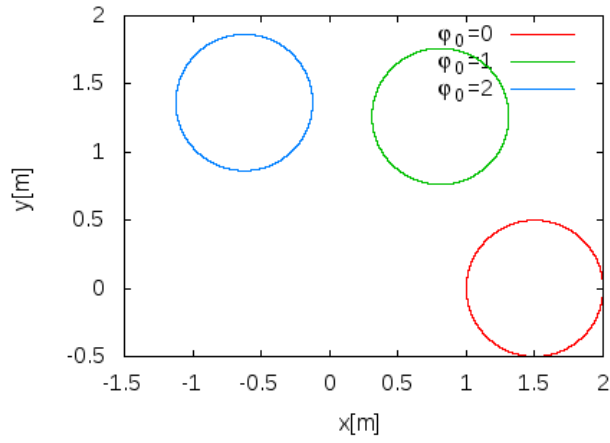


Rysunek 1: Zależność energii od czasu dla różnych kroków czasowych. Dane wejściowe:  $r_0 = 1 \text{ m}$ ,  $p_{r,0} = 1 \text{ kg}\cdot\text{m}/\text{s}$ ,  $\varphi_0 = 1$

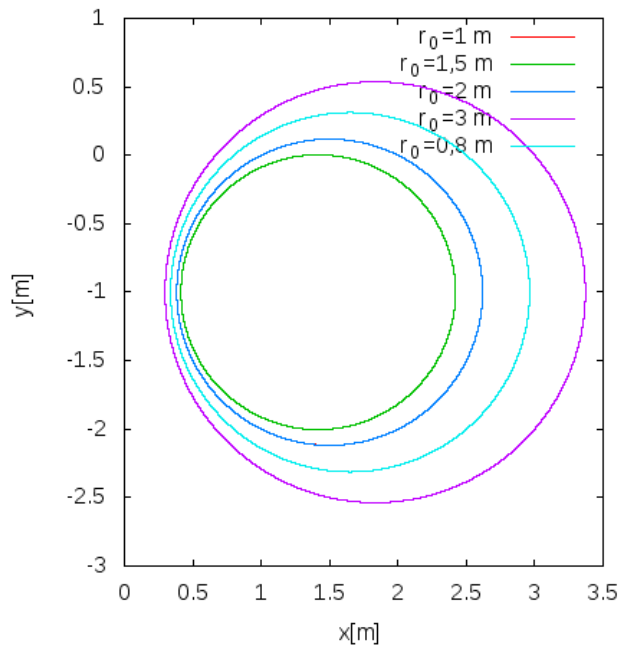
Następnie wyznaczamy trajektorię dla różnych wartości początkowych  $\varphi_0$ ,  $r_0$  oraz  $p_{r,0}$ . Trajektorie ilustrujemy we współrzędnych kartezjańskich, na wykresach 2, 3 oraz 4.

## Podsumowanie

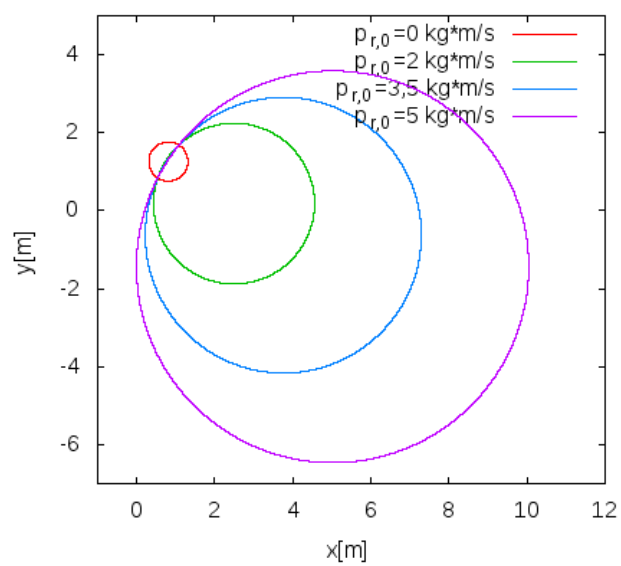
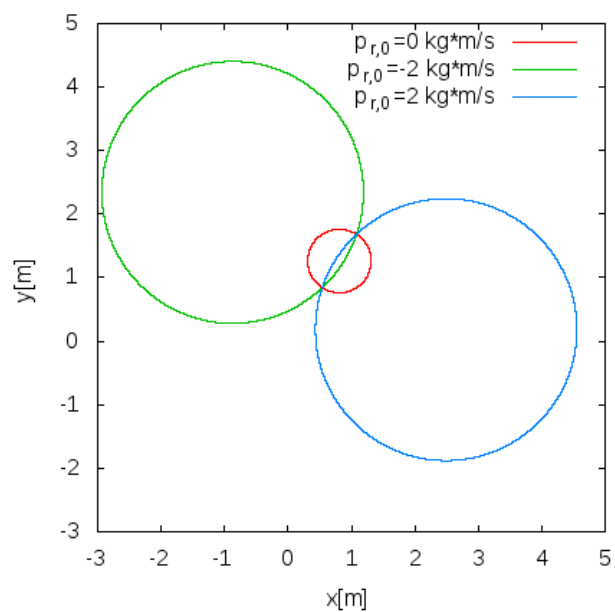
W każdym przypadku trajektoria (przy pominięciu ruchu wzdłuż osi  $z$ ) pozostaje okręgiem. Zmiana  $\varphi_0$  nie zmienia kształtu toru ruchu, a powoduje przesunięcie trajektorii o dany kąt, względem  $\varphi_0 = 0$ . Zmienna  $\varphi$  nie występuje w rozważanych równaniach, prócz równania z którego je wyznaczamy, co powoduje niezależność kształtu trajektorii od jej początkowej wartości. Natomiast dla różnych  $r_0$  otrzymujemy różne okręgi, bez prostej zależności (np. dla wartości  $r_0 = 1 \text{ m}$  i  $r_0 = 2 \text{ m}$  trajektorie pokrywają się). W przypadku  $p_{r,0}$  okręgi po których porusza się ciało zwiększają średnicę wraz ze wzrostem  $p_{r,0}$ .



Rysunek 2: Porównanie otrzymanych trajektorii dla różnych wartości początkowych  $\varphi_0$ . Pozostałe dane wejściowe:  $r_0 = 1$  m,  $p_{r,0} = 0$  kg·m/s.



Rysunek 3: Porównanie otrzymanych trajektorii dla różnych wartości początkowych  $r_0$ . Pozostałe dane wejściowe:  $\varphi_0 = 0$ ,  $p_{r,0} = 1$  kg·m/s.



Rysunek 4: Porównanie otrzymanych trajektorii dla różnych wartości początkowych  $p_{r,0}$ . Pozostałe dane wejściowe:  $r_0 = 1 \text{ m}$ ,  $\varphi = 1$ . Trajektorii dla  $r_0 = 1 \text{ m}$  nie widać na wykresie, gdyż pokrywa się ona z trajektorią dla  $r_0 = 2 \text{ m}$ .